

ЭЛЕМЕНТЫ ТЕОРИИ РАЗНОСТНЫХ СХЕМ

Основные понятия теории разностных схем

Значительная часть задач, с которыми имеет дело вычислительная математика, представляет собой различные задачи для обыкновенных дифференциальных уравнений и уравнений с частными производными. Так, например, обыкновенными дифференциальными уравнениями можно описать задачи химической кинетики, электрических цепей, движение систем взаимодействующих материальных точек и другие задачи физики, химии, техники. К дифференциальным уравнениям в частных производных приводятся задачи математической физики, гидродинамики, акустики и других областей знаний.

Все методы решения дифференциальных уравнений можно условно разбить на *аналитические* и *численные*. В свою очередь аналитические методы подразделяются на точные и приближенные. *Точные* методы позволяют выразить решение дифференциальных уравнений через элементарные функции (в аналитическом виде). *Приближенными* называются методы, в которых решение получается как предел некоторой последовательности, члены которой выражаются через элементарные функции. *Численные* методы не позволяют найти точное решение дифференциальных уравнений в аналитической форме [1]. С их помощью получается таблица приближенных (иногда точных) значений искомого решения в некоторых точках рассматриваемой области решения, именуемых сеткой. В силу этого численные методы иначе называют *разностными методами* или *методами сеток*. Численные методы применимы к широким классам дифференциальных уравнений и всем типам краевых задач для них.

С появлением быстродействующих ЭВМ эти методы стали одним из основных способов решения конкретных практических задач вычислительной математики. Однако следует отметить, что численные методы можно применять только к *хорошо обусловленным* дифференциальным задачам. Другими словами, к задачам, в которых малые изменения в начальных данных приводят к малым изменениям в их решении.

Поясним сказанное на примере [2, с. 58–59].

Пример 1. Рассмотрим обыкновенное дифференциальное уравнение второго порядка

$$y'' - 10y' - 11y = 0$$

с начальными условиями

$$y(0) = 1, \quad y'(0) = -1.$$

Решением данной дифференциальной задачи является функция

$$y(x) = C_1 e^{\lambda_1 x} + C_2 e^{\lambda_2 x},$$

где λ_1, λ_2 есть корни квадратного уравнения

$$\lambda^2 - 10\lambda - 11 = 0$$

и равны соответственно

$$\lambda_1 = 11; \lambda_2 = -1.$$

Константы C_1 и C_2 определяются из начальных условий, что приводит к системе двух уравнений

$$\begin{cases} C_1 + C_2 = 1, \\ 11C_1 - C_2 = -1, \end{cases}$$

откуда следует

$$C_1 = 0; C_2 = 1.$$

Таким образом, решением поставленной дифференциальной задачи будет функция

$$y(x) = e^{-x},$$

в чем можно убедиться непосредственной подстановкой в искомое уравнение.

Теперь изменим первое начальное условие на малую величину $\varepsilon > 0$, т.е. рассмотрим дифференциальную задачу

$$\begin{cases} y'' - 10y' - 11y = 0; \\ y(0) = 1 + \varepsilon, \quad y'(0) = -1. \end{cases}$$

Тогда константы C_1, C_2 будут определяться из системы

$$\begin{cases} C_1 + C_2 = 1 + \varepsilon, \\ 11C_1 - C_2 = -1 \end{cases}$$

и примут значения

$$C_1 = \frac{\varepsilon}{12}; \quad C_2 = 1 + \frac{11}{12}\varepsilon.$$

Решением дифференциальной задачи с измененными начальными условиями будет функция

$$y(x) = \frac{\varepsilon}{12}e^{11x} + \left(1 + \frac{11}{12}\varepsilon\right)e^{-x},$$

которая при любом $\varepsilon > 0$ стремится к бесконечности при $x \rightarrow \infty$, чему способствует слагаемое $\frac{\varepsilon}{12}e^{11x}$. Изобразим на рис. 1 поведение полученных двух решений при $\varepsilon = 0, 2$.

Таким образом, сколь угодно малые изменения в начальных условиях вызвали сколь угодно большие изменения решения при $x \rightarrow \infty$, что означает *плохую обусловленность* поставленной дифференциальной задачи и неустойчивость решения $y(x)$.

Отметим, что *плохо обусловленные* дифференциальные задачи крайне сложно решать численными методами, так как ошибки округлений и погрешность метода оказывают такое же влияние на решение, как и изменение начальных условий.

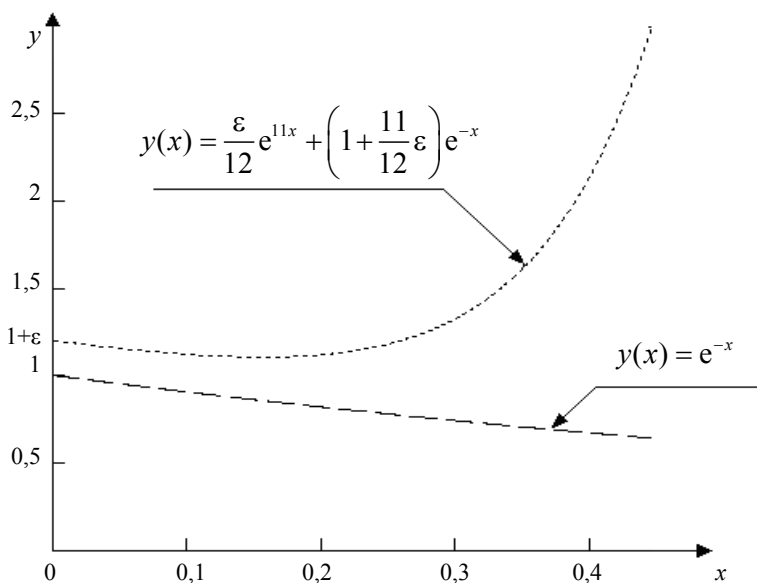


Рис. 1

В качестве упражнения рекомендуется с помощью замены

$$y' = z$$

свести поставленную задачу к эквивалентной системе первого порядка

$$\begin{cases} y' = z, \\ z' = 10z + 11y \end{cases}$$

с начальными условиями

$$y(0) = 1, z(0) = -1$$

и решить эту систему численно любым методом (например, методом Эйлера [2, с. 32–36]), а затем проанализировать полученные результаты.

Сетки и сеточные функции

Понятия *сетки* и *сеточной функции* возникают в теории разностных схем в связи с изучением численных методов решения краевых задач математической физики. Для построения численного метода необходимо написать разностную схему, приближенно описывающую дифференциальное уравнение (или систему). Этот этап связан с заменой области непрерывного изменения аргумента областью дискретного его изменения и с заменой дифференциального оператора некоторым его разностным аналогом, кроме того, записывается разностная аппроксимация для начальных и граничных условий. Результатом этой процедуры является алгебраическая система уравнений [1] или система разностных уравнений [3]. Численное решение краевой задачи для исходного линейного дифференциального уравнения сводится к решению полученной алгебраической системы.

Отметим, что численные методы дают ограниченную и приближенную информацию о решении, но зато являются универсальными.

Рассмотрим задачу Коши для обыкновенного ОДУ 1-го порядка:

$$\frac{dy}{dx} = f(x, y), \quad (1)$$

$$y(x_0) = a, \quad (2)$$

где $x \in [x_0, X]$.

Предполагается, что выполнены условия существования и единственности решения задачи (1)–(2) [4].

Область непрерывного изменения аргумента $x \in [x_0, X]$ заменим дискретным множеством точек $x_j = x_0 + jh, j = 0, 1, \dots, N$, где $h > 0$ – малое фиксированное число. Такое множество точек называется *сеткой*, отдельные точки сетки называются её *узлами* и h – *шагом сетки*. Функция, значения которой определяются в узлах сетки, называется *сеточной функцией*.

Итак, область непрерывного изменения аргумента заменена сеткой или областью дискретного изменения аргумента.

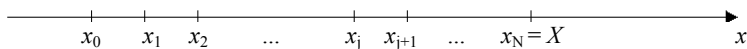


Рис. 2

В вышеприведенном примере была рассмотрена равномерная сетка на отрезке $[x_0, X]$, который разбивался на N равных частей. Шаг сетки $h = x_{i+1} - x_i = (X - x_0) / N$.

Множество всех узлов сетки будем обозначать $\omega_h = \{x_j \mid x_j = x_0 + jh, j = 1, 2, \dots, N\}$. Если в это множество включить граничную точку x_0 , то будем его обозначать $\overline{\omega}_h = \{x_j \mid x_j = x_0 + jh, j = \overline{0, N}\}$.

На отрезке $[x_0, X]$ вместо функции $y(x)$ непрерывного аргумента будем рассматривать функцию $y_j, j = \overline{0, N}$, дискретного аргумента.

Отметим, что значения сеточной функции вычисляются в узлах сетки x_j и сама функция зависит от шага сетки h как от параметра.

Если в качестве сетки рассмотреть неравномерную сетку на отрезке, то в этом случае её узлы будут расположены произвольным образом:

$$\hat{\omega}_h = \{x_j \mid j = \overline{1, N}; x_1 < x_2 < \dots < x_{N-1} < x_N = X\}.$$

Если добавить к этому множеству узел x_0 , то получим неравномерную сетку на $[x_0, X]$: $\hat{\omega}_h[x_0, X]$.

Заметим, что шаг сетки $h_j = x_j - x_{j-1}$ в этом случае будет зависеть от номера узла j , т.е. является сеточной функцией.

Вернемся к ранее поставленной задаче (1) – (2). Заменим область непрерывного изменения аргумента $x \geq 0$ дискретным множеством точек $x_j = x_0 + jh$, $j = \overline{0, N}$, $h = (X - x_0) / N$. Вместо функции $y(x)$ рассмотрим таблицу x_j, y_j , $j = 0, 1, 2, \dots, N$.

Запишем уравнение (1) в произвольном внутреннем узле

$$x_j \in \omega_h = \{x_j | x_j = x_0 + jh, j = \overline{1, N}; h = \overline{(X - x_0) / N}\} :$$

$$\left. \frac{dy}{dx} \right|_{x=x_j} = f(x_j, y(x_j)), j = \overline{0, N-1}. \quad (3)$$

По определению производной

$$\left. \frac{dy}{dx} \right|_{x=x_j} = \lim_{h \rightarrow 0} \frac{y(x_j + h) - y(x_j)}{h}.$$

Заменяя в (3) производную $\left. \frac{dy}{dx} \right|_{x=x_j}$ конечно-разностным отно-

шением, получим вместо дифференциального уравнения (3) разностное уравнение вида

$$\frac{y(x_j + h) - y(x_j)}{h} \approx f(x_j, y(x_j)), j = \overline{0, N-1}. \quad (4)$$

Сеточную функцию, удовлетворяющую (4), будем обозначать y_j . В результате будем иметь

$$\begin{cases} \frac{y_{j+1} - y_j}{h} = f(x_j, y_j), j = \overline{0, N-1}; \\ y_0 = a. \end{cases} \quad (5)$$

Разностная задача (5) представляет собой систему линейных алгебраических уравнений. Разрешая j -е разностное уравнение в (5) относительно y_{j+1} , получим

$$\begin{cases} y_{j+1} = y_j + h \cdot f(x_j, y_j), j = \overline{0, N-1}; \\ y_0 = a. \end{cases} \quad (6)$$

Построение вычислительного алгоритма завершено. Зная y_0 , определяем y_1 из (6) при $j = 0$:

$$y_1 = y_0 + h \cdot f(x_0, y_0) .$$

С учетом полученного значения y_1 легко определить

$$y_2 = y_1 + h \cdot f(x_1, y_1)$$

и т.д. Зная y_{N-1} , можно вычислить y_N по формуле

$$y_N = y_{N-1} + h \cdot f(x_{N-1}, y_{N-1}) .$$

Заметим, что при построении численного алгоритма пренебрегли пределом при $h \rightarrow 0$ и тем самым допустили некоторую ошибку, называемую *погрешностью аппроксимации* (производной $\left. \frac{dy}{dx} \right|_{x=x_j}$

конечно-разностным отношением).

Алгоритм оценки погрешности аппроксимации будет изложен позже, а пока отметим, что с помощью численного метода (6), называемого *методом Эйлера*, определяется таблица значений решения y_j , $j = 1, 2, \dots, N$, $y_0 = a$. При $h \rightarrow 0$, т.е. при сгущении сетки, решение y_j должно сходиться к решению исходной задачи (1)–(2). При этом обе функции, и непрерывного аргумента ($y(x_j)$) и дискретного аргумента (y_j), рассматриваются как функции дискретного аргумента или сеточные функции.

Если $y(x)$ непрерывная функция, то ей ставится в соответствие сеточная функция $y(x_j)$ или $[y]_h$. Если же $y(x)$ терпит разрыв, то таблицей её значений на $[x_0, X]$ можно считать сеточную функцию

$$[y]_h = \frac{1}{h} \int_{x-h/2}^{x+h/2} y(\xi) d\xi .$$

Условимся, что $y(x)$ – непрерывная функция, а $[y]_h$ – сеточная функция, совпадающая с $y(x)$ в точках сетки.

Понятие сходимости разностной схемы

В связи с понятием разностной схемы рассмотрим линейное нормированное пространство функций, определенных на сетке $\overline{\omega_h}$. Будем обозначать его U_h [3].

Норма может быть определена по-разному. Например, можно рассмотреть разностный аналог нормы пространства C :

$$\|y^{(h)}\|_{U_h} = \max_{0 \leq j \leq N} |y_j|. \quad (7)$$

Часто используется норма, определяемая равенством

$$\|y^{(h)}\|_{U_h} = \left(\sum_{j=0}^N h \cdot |y_j|^2 \right)^{1/2}. \quad (8)$$

Норма (8) эквивалентна норме

$$\|y(x)\| = \left(\int_{x_0}^x |y(x)|^2 dx \right)^{1/2}$$

для функций, интегрируемых с квадратом на отрезке $[x_0, X]$.

Можно также принять за норму

$$\|y^{(h)}\|_{U_h} = \sup_{0 \leq j \leq N} |y_j|. \quad (9)$$

Пусть даны две произвольные сеточные функции $u^{(h)}$ и $v^{(h)}$ из U_h .

Определение 1. Мерой отклонения этих функций друг от друга считается норма их разности, т.е.

$$\|u^{(h)} - v^{(h)}\|_{U_h}.$$

Перепишем исходную дифференциальную задачу в так называемой операторной форме [3, с. 82–84, 88–89]:

$$Ly = f, \quad (10)$$

$$\text{где } Ly \equiv \begin{cases} \frac{dy}{dx}, & x_0 \leq x \leq X, \\ y(x_0), \end{cases} \quad f \equiv \begin{cases} f(x, y(x)), & x_0 \leq x \leq X, \\ a. \end{cases}$$

Запишем в операторной форме соответствующую разностную задачу, аппроксимирующую (10):

$$L_h y^{(h)} = f^{(h)}, \quad (11)$$

$$\text{где } L_h y^{(h)} \equiv \begin{cases} \frac{y_{j+1} - y_j}{h}, & j = \overline{0, N-1}; \\ y_0; \end{cases} \quad f^{(h)} \equiv \begin{cases} f(x_j, y_j), & j = \overline{0, N-1}; \\ a. \end{cases}$$

Заметим, что любую краевую задачу для обыкновенных дифференциальных уравнений и для уравнений в частных производных можно записать в операторной форме в виде (10). Аналогичным образом можно записать в виде (11) соответствующую разностную краевую задачу. С учетом сказанного введем ряд важных определений, используемых в теории разностных схем.

Предполагаем, что при любом достаточно малом h решение $y^{(h)}$ задачи (11) существует и принадлежит пространству U_h .

Определение 2. Говорят, что решение $y^{(h)}$ разностной краевой задачи (11) при измельчении шага сетки *сходится* к решению y дифференциальной краевой задачи (10), если

$$\| [y]_h - y^{(h)} \|_{U_h} \rightarrow 0 \quad \text{при } h \rightarrow 0. \quad (12)$$

Если выполнено неравенство

$$\| [y]_h - y^{(h)} \|_{U_h} \leq C \cdot h^k, \quad (13)$$

где $C > 0$, $k > 0$ – некоторые постоянные, не зависящие от h , то говорят, что имеет место *сходимость порядка k относительно h* или что разностная схема имеет k -й порядок точности.

Вопрос проверки сходимости разбивается на два более простых вопроса:

- 1) проверка аппроксимации задачи (10) задачами (11);
- 2) является ли устойчивой задача (11)?

Ответ на эти два вопроса требует введения математически строгих понятий *аппроксимация* и *устойчивость*.

Об аппроксимации дифференциальной краевой задачи разностной

Предположим, что разностная задача (11) имеет единственное решение $y^{(h)} \in U_h$. Если в (11) вместо $y^{(h)}$ подставить сеточную функцию $[y]_h \in U_h$ и при этом окажется, что равенство (11) будет точно выполнено, то ввиду единственности решения (11) следует, что $[y]_h = y^{(h)}$. Описанная ситуация является идеальной с точки зрения сходимости. Как правило, систему разностных уравнений трудно построить так, чтобы $[y]_h$ ей точно удовлетворяла. Подставляя в (11) $[y]_h$, получаем некоторую невязку

$$L_h[y]_h = f^{(h)} + \delta f^{(h)}. \quad (14)$$

За определение *аппроксимации* принимается стремление невязки $\delta f^{(h)}$ к нулю при $h \rightarrow 0$.

Поясним понятие невязки на примере разностной задачи (11). Невязка возникает за счет аппроксимации производной $\left. \frac{dy}{dx} \right|_{x=x_j}$ конечно-разностным отношением

$$\left. \frac{dy}{dx} \right|_{x=x_j} \approx \frac{y(x_j + h) - y(x_j)}{h}. \quad (15)$$

Применим формулу Тейлора к функции $y(x_j + h)$ в окрестности узла $x_j \in \omega_h$, предполагая, что $y(x) \in C^2[x_0, X]$:

$$y(x_j + h) = y(x_j) + \left. \frac{dy}{dx} \right|_{x=x_j} h + \left. \frac{d^2 y}{dx^2} \right|_{x=\bar{x}} \frac{h^2}{2!},$$

где $\bar{x} = x_j + \theta_1 \cdot h$, $\theta_1 \in (0, 1)$.

Подставляя разложение $y(x_j + h)$ в (15), получим

$$\frac{y(x_j + h) - y(x_j)}{h} = \frac{dy}{dx} \Big|_{x=x_j} + \frac{h}{2} \frac{d^2 y}{dx^2} \Big|_{x=\bar{x}}. \quad (16)$$

Поэтому выражение

$$L_h[y]_h \equiv \begin{cases} \frac{y(x_j + h) - y(x_j)}{h}, & j = \overline{0, N-1}, \\ y(x_0) \end{cases}$$

можно переписать следующим образом:

$$L_h[y]_h \equiv \begin{cases} f(x_j, y(x_j)) + \frac{h}{2} \frac{d^2 y}{dx^2} \Big|_{x=\bar{x}}, & j = \overline{0, N-1}; \\ a. \end{cases}$$

или

$$L_h[y]_h = f^{(h)} + \delta f^{(h)},$$

где

$$\delta f^{(h)} = \begin{cases} h \cdot \left[\frac{1}{2} \frac{d^2 y}{dx^2} \right] \Big|_{x=\bar{x}}, \\ 0. \end{cases} \quad (17)$$

Будем считать, что $f^{(h)}$ и $\delta f^{(h)}$, заданные с помощью формул (11) и (17), принадлежат линейному нормированному пространству F_h . Под величиной невязки понимаем $\|\delta f^{(h)}\|_{F_h}$.

Определение 3. Будем говорить, что разностная схема $L_h y^{(h)} = f^{(h)}$ аппроксимирует задачу $Ly = f$ на решении y , если $\|\delta f^{(h)}\|_{F_h} \rightarrow 0$ при $h \rightarrow 0$. Если имеет место неравенство

$$\|\delta f^{(h)}\|_{F_h} \leq C_1 \cdot h^k, \quad (18)$$

где $C_1 > 0$, $k > 0$ – некоторые постоянные, то будем говорить, что имеет место *аппроксимация порядка h^k* или порядка k относительно h .

Если норму пространства F_h определить по формуле (7), то из (17) будем иметь

$$\|\delta f^{(h)}\| = \max_{0 \leq j \leq N} \left\{ h \left[\frac{1}{2} \left| \frac{d^2 y}{dx^2} \right| \right] \right\}_{x=x_j} .$$

Учитывая предположение относительно $y(x)$, имеем $\frac{d^2 y}{dx^2}$ будет по модулю ограничена некоторой константой C_2 .

Тогда

$$\|\delta f^{(h)}\|_{F_h} \leq h \cdot \frac{1}{2} \cdot C_2 = h \cdot C_3 .$$

Согласно определению 3 имеет место аппроксимация порядка 1 относительно величины h .

Начальное условие при замене дифференциальной задачи разностной аппроксимируется точно, так как решение разностной задачи должно удовлетворять тому же самому условию, что и $y(x)$.

Заметим, что если рассматривается краевая задача 2-го или 3-го рода, когда в граничном условии содержится производная от решения, при переходе к соответствующей разностной задаче возникает погрешность аппроксимации граничных условий, влияющая на порядок аппроксимации разностной задачи.

Об устойчивости разностной схемы

Введем очень важное в теории разностных схем понятие *устойчивости* [1, с. 106–107] в случае, когда L_h — не обязательно линейный оператор.

Определение 4. Разностная схема (10.11) называется *устойчивой*, если существуют числа $h_0 > 0$ и $\delta > 0$ такие, что при любом $h < h_0$ и любом $\varepsilon^{(h)} \in F_h$, $\|\varepsilon^{(h)}\|_{F_h} < \delta$, разностная задача

$$L_h z^{(h)} = f^{(h)} + \varepsilon^{(h)}, \quad (19)$$

полученная из задачи (11) добавлением к правой части возмущения $\varepsilon^{(h)}$, имеет только одно решение $z^{(h)}$, причем это решение отклоняется от решения $y^{(h)}$ невозмущенной задачи (11) на сеточную функцию $z^{(h)} - y^{(h)}$, удовлетворяющую оценке

$$\|z^{(h)} - y^{(h)}\|_{U_h} \leq C \cdot \|\varepsilon^{(h)}\|_{F_h}, \quad (20)$$

где C – некоторая постоянная, не зависящая от h .

В частности, неравенство (20) означает, что малое возмущение $\varepsilon^{(h)}$ правой части разностной схемы (11) вызывает равномерно малое относительно h возмущение $z^{(h)} - y^{(h)}$ решения.

Если в (11) оператор L_h является линейным, то приведенное определение устойчивости равносильно следующему.

Определение 5. Разностная схема (11) с линейным оператором L_h называется устойчивой, если для любого $f^{(h)} \in F_h$ уравнение (11) имеет единственное решение $y^{(h)} \in U_h$, причем

$$\|y^{(h)}\|_{U_h} \leq C \cdot \|f^{(h)}\|_{F_h},$$

где C – некоторая постоянная, не зависящая от h .

Доказательство эквивалентности приведенных выше определений устойчивости в случае линейного оператора L_h приведено в [1, с. 107–108].

О методах построения разностных схем

Построение разностных схем осуществляется с учетом ряда требований, предъявляемых к разностной схеме. Необходимо, чтобы разностная схема удовлетворяла следующим условиям:

- 1) аппроксимировала с более высоким порядком исходную дифференциальную задачу;
- 2) была устойчивой;
- 3) обладала свойством консервативности, т.е. чтобы на сетке выполнялись разностные аналоги законов сохранения [1, с. 111–114];
- 4) была экономичной;
- 5) была легко разрешимой и т.д.

Нельзя построить разностную схему, удовлетворяющую одновременно всем перечисленным требованиям. Некоторые из них вступают в противоречие друг с другом и приходится удовлетворять наиболее важным требованиям, а от каких-то нужно отказаться в угоду более существенным.

Остановимся на некоторых методах построения разностных схем [1–5].

Метод неопределённых коэффициентов

Метод неопределённых коэффициентов рассмотрим на примере задачи Коши для обыкновенного дифференциального уравнения первого порядка:

$$\begin{aligned} \frac{dy}{dx} &= f(x, y), \quad x_0 \leq x \leq X, \\ y(x_0) &= a. \end{aligned} \tag{25}$$

Для численного решения задачи (25) ранее методом конечных разностей была построена разностная схема [6]:

$$\begin{cases} \frac{y_{j+1} - y_j}{h} = f(x_j, y_j), \quad j = \overline{0, N-1}; \\ y_0 = a. \end{cases} \tag{26}$$

Эта схема связывает значения искомой функции $y(x)$ в двух узлах x_j и x_{j+1} .

Построим разностную схему (26) методом неопределённых коэффициентов. Для этого разностное уравнение запишем в следующем виде:

$$L_h y^{(h)} \equiv a_0 y_j + a_1 y_{j+1} = f_j, \quad (27)$$

где a_0 и a_1 – неопределённые коэффициенты. Постараемся подобрать их таким образом, чтобы выполнялось следующее равенство:

$$L_h [y]_h \Big|_{x=x_j} = f(x_j, y(x_j)) + O(h^2). \quad (28)$$

Воспользуемся формулой Тейлора, предполагая, что $y(x) \in C^2[x_0, X]$:

$$y(x_j + h) = y(x_j) + h \frac{dy}{dx} \Big|_{x=x_j} + \frac{h^2}{2} \frac{d^2 y}{dx^2} \Big|_{x=\tilde{x}}, \quad (29)$$

где $\tilde{x} = x_j + \theta_1 h$, $\theta_1 \in (0, 1)$.

Подставляя (29) в левую часть равенства (28), получим

$$L_h [y]_h \Big|_{x=x_j} = a_0 y(x_j) + a_1 \left\{ y(x_j) + h \frac{dy}{dx} \Big|_{x=x_j} + O(h^2) \right\}. \quad (30)$$

Определим коэффициенты a_0 , a_1 так, чтобы выполнялось условие аппроксимации (28). Вначале сгруппируем слагаемые в правой части равенства (30):

$$L_h [y]_h \Big|_{x=x_j} = (a_0 + a_1) y(x_j) + a_1 h \frac{dy}{dx} \Big|_{x=x_j} + O(h^2) = f(x_j, y(x_j)). \quad (31)$$

Из соотношения (31) следует, что для выполнения условия аппроксимации необходимо, чтобы выполнялись равенства

$$\begin{cases} a_0 + a_1 = 0, \\ a_1 h = 1. \end{cases}$$

Имеем систему двух линейных алгебраических уравнений, которая, очевидно, допускает единственное решение

$$a_0 = -\frac{1}{h}, \quad a_1 = \frac{1}{h}.$$

В результате получается разностная схема

$$\frac{y_{j+1} - y_j}{h} = f_j, \quad j = \overline{0, N-1},$$

совпадающая с уже ранее рассмотренной схемой (26).

Для построения разностной схемы, связывающей значения искомой функции $y(x)$ в узлах x_{j-1} и x_{j+1} , методом неопределенных коэффициентов, повторим ранее приведенную процедуру.

Имеем

$$L_h y^{(h)} \equiv a_0 y_{j-1} + a_1 y_{j+1} = f_j. \quad (32)$$

Определим неизвестные коэффициенты a_0, a_1 так, чтобы имело место равенство

$$L_h [y]_h \Big|_{x=x_j} = f(x_j, y(x_j)) + O(h^2). \quad (33)$$

Используя формулу Тейлора, получим

$$y(x_j - h) = y(x_j) - h \frac{dy}{dx} \Big|_{x=x_j} + \frac{h^2}{2} \frac{d^2 y}{dx^2} \Big|_{x=\tilde{x}}, \quad (34)$$

$$y(x_j + h) = y(x_j) + h \frac{dy}{dx} \Big|_{x=x_j} + \frac{h^2}{2} \frac{d^2 y}{dx^2} \Big|_{x=\tilde{x}}, \quad (35)$$

где $\tilde{x} = x_j + \theta_1 h, \tilde{x} = x_j + \theta_2 h$, $\theta_1 \in (-1, 0), \theta_2 \in (0, 1)$.

Подставляя (34) и (35) в левую часть равенства (33), будем иметь

$$L_h [y]_h \Big|_{x=x_j} \equiv (a_0 + a_1) y(x_j) + (-a_0 h + a_1 h) \frac{dy}{dx} \Big|_{x=x_j} + O(h^2) = f(x_j, y(x_j)). \quad (36)$$

Для выполнения условия аппроксимации (36) необходимо выполнение следующих соотношений:

$$\begin{cases} a_0 + a_1 = 0, \\ (-a_0 + a_1)h = 1. \end{cases}$$

Из системы имеем, что $a_0 = -\frac{1}{2h}, a_1 = \frac{1}{2h}$. Подставляя полученные значения a_0, a_1 в (32), запишем разностную схему:

$$\frac{y_{j+1} - y_{j-1}}{2h} = f_j, \quad j = \overline{1, N-1}. \quad (37)$$

Отметим, что в построенной разностной схеме (37) используется центральная разность. В ранее рассмотренной схеме применялась правая пространственная разность.

Аналогичным образом можно построить разностную схему с левой пространственной разностью вида

$$\frac{y_j - y_{j-1}}{h} = f_j, \quad j = \overline{1, N}. \quad (38)$$

Отметим, что в общем случае разностная схема может иметь шаблон, в котором узлы могут быть расположены произвольным образом друг относительно друга. При этом число неопределенных коэффициентов должно совпадать с количеством узлов. Более подробно применение данного метода к различным типам уравнений в частных производных рассматривается в [1, с. 191–200].

Метод полиномиальной аппроксимации

Рассматриваемый метод основан на применении гладкой функции со свободными параметрами [2, 7] для нахождения производных по экспериментальным данным. В качестве такой функции обычно используются полиномы.

Проиллюстрируем указанный метод для случая, когда в узлах x_{j-1}, x_j, x_{j+1} заданы значения функции y_{j-1}, y_j, y_{j+1} . Проведем аппроксимацию функции многочленом второй степени

$$y(x) = a + bx + cx^2, \quad (39)$$

причем за начало координат ($x=0$) примем точку x_j . Тогда $x_{j-1}=-h, x_{j+1}=h$. Для определения a, b, c воспользуемся значениями y_{j-1}, y_j, y_{j+1} . Имеем

$$\begin{aligned}y_{j-1} &= a + bx_{j-1} + cx_{j-1}^2, \\y_j &= a + bx_j + cx_j^2, \\y_{j+1} &= a + bx_{j+1} + cx_{j+1}^2\end{aligned}$$

или, с учетом $x_j=0$,

$$\begin{aligned}y_{j-1} &= a - bh + ch^2, \\y_j &= a, \\y_{j+1} &= a + bh + ch^2.\end{aligned}$$

Складывая первое и последнее равенства, получим

$$y_{j+1} + y_{j-1} = 2a + 2ch^2$$

или

$$c = \frac{y_{j-1} - 2y_j + y_{j+1}}{2h^2}.$$

Для определения коэффициента b вычтем из третьего равенства первое. Получим

$$y_{j+1} - y_{j-1} = 2bh.$$

Отсюда

$$b = \frac{y_{j+1} - y_{j-1}}{2h}.$$

Для определения производной воспользуемся формулой

$$\left. \frac{dy}{dx} \right|_{x=x_j} = (b + 2cx) \Big|_{x=x_j=0} = b$$

или

$$\left. \frac{dy}{dx} \right|_{x=x_j} = \frac{y_{j+1} - y_{j-1}}{2h}.$$

Значение второй производной

$$\left. \frac{d^2 y}{dx^2} \right|_{x=x_j} = 2c$$

или

$$\left. \frac{d^2 y}{dx^2} \right|_{x=x_j} = \frac{y_{j-1} - 2y_j + y_{j+1}}{h^2}.$$

Построенные формулы для первой и второй производной совпадают с формулами, полученными методом конечных разностей [8, с. 107–120, 146–151].

Если теперь аппроксимировать $y(x)$ полиномом первой степени, т.е. $y(x) = a + bx$, то в зависимости от таблицы значений функции y_j, y_{j+1} или y_{j-1}, y_j , получатся формулы для аппроксимации

$\left. \frac{dy}{dx} \right|_{x=x_j}$ правой или левой пространственными разностями соответственно.

Заметим, что аппроксимационные формулы для производных, полученные при помощи полиномов выше второго порядка, уже не идентичны выражениям, полученным разложением в ряд Тейлора [7, с. 44–45]. В каждом случае погрешность аппроксимации проверяется при помощи разложения по формуле Тейлора [Там же, с. 44].

Метод конечных разностей

Рассмотрим линейную двухточечную краевую задачу [8, с. 107–120]:

$$\begin{aligned} & Ly = f, \\ \text{где} \quad & Ly \equiv \begin{cases} y'' + p(x)y' + q(x)y, & 0 \leq x \leq 1, \\ y(0), \\ y'(1), \end{cases} \quad (40) \\ & f \equiv \begin{cases} r(x), & 0 \leq x \leq 1, \\ \alpha, \\ \beta, \end{cases} \end{aligned}$$

$p(x), q(x), r(x)$ – заданные функции, α, β – известные числа. Будем предполагать, что задача (40) корректно поставлена. Используя метод конечных разностей, называемый иначе *методом сеток*, опишем алгоритм нахождения приближенного решения задачи (40) на ПЭВМ.

Согласно методу сеток необходимо выполнить следующие действия:

1) заменить область непрерывного изменения аргумента $x \in [0, 1]$ некоторой дискретной областью. Для этой цели рассмотрим, например, равномерную сетку на $[0, 1]$ с $N+1$ узлами:

$$\overline{\omega_h} = \{x_j \mid x_j = jh, j = \overline{0, N}, N = 1/h, h > 0\};$$

2) аппроксимировать краевую задачу (40) на множестве узлов $x_j \in \overline{\omega_h}$ некоторой разностной задачей

$$L_h y^{(h)} = f^{(h)}, \quad (41)$$

где

$$y^{(h)} \in U_h, f^{(h)} \in F_h,$$

U_h – пространство сеточных функций – решений задачи (41),

F_h – пространство сеточных функций – правых частей разностной задачи (41);

3) решить разностную задачу (41) каким-либо численным методом, т.е. найти приближенные значения решения $y_j \approx y(x_j)$ в узлах сетки $\overline{\omega_h}$. Под $y(x_j)$ понимаем значения решения дифференциальной задачи (40), вычисленные в узлах $x_j \in \overline{\omega_h}$, y_j – значение в узле x_j решения разностной задачи (41).

В рассматриваемом случае разностная задача (41) представляет собой систему $N+1$ линейных алгебраических уравнений относительно $N+1$ неизвестных y_0, y_1, \dots, y_N .

При таком подходе к решению краевых задач для обыкновенных дифференциальных уравнений необходимо решить следующие вопросы:

1) выбрать формулы численного дифференцирования, хорошо приближающие производные из (40);

2) определить порядок аппроксимации краевой задачи разностной схемой, устойчивость разностной схемы и сходимость решения разностной задачи к решению дифференциальной задачи;

3) показать разрешимость системы линейных алгебраических уравнений и указать метод её решения.

Обсудим решение каждого из перечисленных вопросов на примере поставленной задачи (40).

Выбор формул численного дифференцирования

Аппроксимируем производные из (40) в узле x_j по следующим формулам численного дифференцирования [8, с. 109]:

$$y''(x_j) = \frac{y(x_{j+1}) - 2y(x_j) + y(x_{j-1}))}{h^2}, \quad j = \overline{1, N-1};$$

$$y'(x_j) = \frac{y(x_{j+1}) - y(x_j)}{h} - \text{правая разностная производная, } j = \overline{0, N-1},$$

или

$$y'(x_j) = \frac{y(x_j) - y(x_{j-1}))}{h} - \text{левая разностная производная, } j = \overline{1, N},$$

или

$$y'(x_j) = \frac{y(x_{j+1}) - y(x_{j-1}))}{2h} - \text{центральная разностная производная, } j = \overline{1, N-1}.$$

Тогда вместо краевой задачи (40) получим разностную задачу (41), где

$$L_h y^{(h)} \equiv \begin{cases} \frac{y_{j+1} - 2y_j + y_{j-1}}{h^2} + p_j \frac{y_{j+1} - y_j}{h} + q_j y_j, & j = \overline{1, N-1}, \\ y_0, \\ \frac{y_N - y_{N-1}}{h} \end{cases} \quad (42)$$

или

$$L_h y^{(h)} \equiv \begin{cases} \frac{y_{j+1} - 2y_j + y_{j-1}}{h^2} + p_j \frac{y_{j+1} - y_{j-1}}{2h} + q_j y_j, & j = \overline{1, N-1}, \\ y_0, \\ \frac{y_N - y_{N-1}}{h}, \end{cases} \quad (43)$$

а

$$f^{(h)} \equiv \begin{cases} r_j, & j = \overline{1, N-1}, \\ \alpha, \\ \beta. \end{cases}$$

Определение порядка аппроксимации дифференциальной задачи разностной

Исследуем погрешность от замены производных из (40) по формулам численного дифференцирования, предполагая, что функция $y(x)$ обладает достаточной гладкостью. Разложим $y(x_{j\pm 1})$ в окрестности x_j по формуле Тейлора. Будем иметь

$$\begin{aligned} y(x_{j\pm 1}) &= y(x_j \pm h) = y(x_j) \pm hy'(x_j) + \\ &+ \frac{h^2}{2} y''(x_j) \pm \frac{h^3}{3!} y'''(x_j) + \frac{h^4}{4!} y^{(iv)}(x_j) + O(h^5), \end{aligned}$$

где $O(h^5)$ означает, что остаточный член разложения стремится к нулю при $h \rightarrow 0$, как h^5 .

Тогда

$$\frac{y(x_{j+1}) - 2y(x_j) + y(x_{j-1}))}{h^2} = y''(x_j) + \frac{h^2}{12} y''''(\xi_1),$$

где $x_{j-1} < \xi_1 < x_{j+1}$. Аналогично получаем

$$\frac{y(x_{j+1}) - y(x_{j-1}))}{2h} = y'(x_j) + \frac{h^2}{6} y'''(\xi_2),$$

где $x_{j-1} < \xi_2 < x_{j+1}$;

$$\frac{y(x_{j+1}) - y(x_j)}{h} = y'(x_j) + \frac{h}{2} y''(\xi_3),$$

где $x_j < \xi_3 < x_{j+1}$;

$$\frac{y(x_N) - y(x_{N-1}))}{h} = y'(x_N) - \frac{h}{2} y''(\xi_4),$$

где $x_{N-1} < \xi_4 < x_N$.

Определяем теперь невязку $\delta f^{(h)}$ по формуле

$$L_h[y]_h - f^{(h)} = \delta f^{(h)}, \quad [y]_h \in U_h; \quad f^{(h)}, \delta f^{(h)} \in F_h.$$

При использовании правой разностной производной имеем

$$L_h[y]_h \equiv \begin{cases} y''(x_j) + p_j y'(x_j) + q_j y(x_j) + \frac{h^2}{12} y''''(\xi_1) + \frac{h}{2} y''(\xi_3) p_j, \\ y(x_0), \\ y'(x_N) - \frac{h}{2} y''(\xi_4), \end{cases}$$

$$f \equiv \begin{cases} r_j, & j = \overline{1, N-1}, \\ \alpha, \\ \beta. \end{cases}$$

Следовательно,

$$\delta f^{(h)} \equiv \begin{cases} -\frac{h^2}{12} y^{IV}(\xi_1) - \frac{h}{2} p_j y''(\xi_3) \equiv \delta f_1^{(h)}, \\ 0 \equiv \delta f_2^{(h)}, \\ \frac{h}{2} y''(\xi_4) \equiv \delta f_3^{(h)}. \end{cases}$$

При замене $y'(x_j)$ центральной разностной производной получаем

$$\delta f^{(h)} \equiv \begin{cases} -\frac{h^2}{12} y^{IV}(\xi_1) - \frac{h^2}{6} p_j y'''(\xi_2) \equiv \delta f_1^{(h)}, \\ 0 \equiv \delta f_2^{(h)}, \\ \frac{h}{2} y''(\xi_4) \equiv \delta f_3^{(h)}. \end{cases}$$

Из проведенных исследований заключаем, что разностные схемы (42), (43) аппроксимируют дифференциальную задачу (40) на решении $y(x) \in C^4[0,1]$ с локальной ошибкой (ошибкой на одном шаге) $O(h)$. Отметим, что порядок аппроксимации разностной схемы (43) можно повысить до второго относительно h , если аппроксимировать $y'(x_N)$ по формуле численного дифференцирования [10, с. 57–59]:

$$\frac{3y(x_N) - 4y(x_{N-1}) + y(x_{N-2}))}{2h} = y'(x_N) - \frac{h^2}{3} y'''(\xi_5),$$

где $x_{N-2} < \xi_5 < x_N$.

Тогда невязка $\delta f^{(h)}$ принимает вид

$$\delta f^{(h)} \equiv \begin{cases} -\frac{h^2}{12} y^{IV}(\xi_1) - \frac{h^2}{6} p_j y'''(\xi_2) \equiv \delta f_1^{(h)}, \\ 0 \equiv \delta f_2^{(h)}, \\ \frac{h^2}{3} y'''(\xi_5) \equiv \delta f_3^{(h)}. \end{cases} \quad (44)$$

Получим оценку $\|\delta f^{(h)}\|_{F_h}$ из (44). Имеем

$$\begin{aligned} \left| y''(x_j) - \frac{y_{j+1} - 2y_j + y_{j-1}}{h^2} \right| &\leq \frac{h^2}{12} \|y^{IV}\|_C, \\ \left| p(x_j)y'(x_j) - p_j \frac{y_{j+1} - y_{j-1}}{2h} \right| &\leq \frac{h^2}{6} \|p\|_C \cdot \|y''\|_C, \\ \left| y'(x_N) - \frac{3y_N - 4y_{N-1} + y_{N-2}}{2h} \right| &\leq \frac{h^2}{3} \|y''\|_C. \end{aligned}$$

Здесь

$$\begin{aligned} p_j = p(x_j), \quad j = \overline{1, N-1}, \quad \|p\|_C = \max_{x \in [0,1]} |p(x)|, \\ \|y^{IV}\|_C = \max_{x \in [0,1]} |y^{IV}(x)|, \quad \|y'''\|_C = \max_{x \in [0,1]} |y'''(x)|. \end{aligned}$$

Пусть $\|\delta f^{(h)}\|_{F_h} = \max_{1 \leq i \leq 3} |\delta f_i^{(h)}|$. Тогда получаем

$$\|\delta f^{(h)}\|_{F_h} \leq C \cdot h^2,$$

где C – некоторая не зависящая от h постоянная.

Аналогичными рассуждениями можно показать, что в случае разностных схем (42), (43)

$$\|\delta f^{(h)}\|_{F_h} \leq C \cdot h.$$

***Устойчивость разностной схемы и сходимость решения
разностной задачи к решению дифференциальной.
Вопросы разрешимости разностной задачи***

Разностную задачу (42) запишем в виде

$$\begin{cases} y_0 = \alpha; \\ \frac{y_{j+1} - 2y_j + y_{j-1}}{h^2} + p_j \frac{y_{j+1} - y_j}{h} + q_j y_j = r_j, \quad j = \overline{1, N-1}; \\ y_N - y_{N-1} = \beta h \end{cases} \quad (45)$$

или

$$A\bar{y} = \bar{b}, \quad (46)$$

где $\bar{y} = (y_0, y_1, \dots, y_N)^T$, $\bar{b} = (\alpha, h^2 r_1, \dots, h^2 r_{N-1}, \beta h)^T$,

$$A = \begin{pmatrix} 1 & 0 & 0 & 0 & 0 & \dots & 0 & 0 & 0 \\ 1 & -2 - hp_1 + q_1 h^2 & 1 + hp_1 & 0 & 0 & \dots & 0 & 0 & 0 \\ 0 & 1 & -2 - hp_2 + q_2 h^2 & 1 + hp_2 & 0 & \dots & 0 & 0 & 0 \\ \dots & \dots & \dots & \dots & \dots & \dots & \dots & \dots & \dots \\ 0 & 0 & 0 & 0 & 0 & \dots & 1 & -2 - hp_{N-1} + q_{N-1} h^2 & 1 + hp_{N-1} \\ 0 & 0 & 0 & 0 & 0 & \dots & 0 & -1 & 1 \end{pmatrix}.$$

Матрица A системы линейных алгебраических уравнений (46) является трехдиагональной с доминирующей главной диагональю, если при $0 \leq x \leq 1$ функция $q(x) \leq 0$. Это условие гарантирует существование единственного решения разностной краевой задачи (42), причем, решение может быть получено методом прогонки [11, с. 18–21].

В самом деле, задачу (45) можно привести к виду

$$\begin{cases} A_j y_{j-1} - C_j y_j + B_j y_{j+1} = F_j, j = \overline{1, N-1}, \\ y_0 - \alpha_0 y_1 = \gamma_0, \\ y_N - \alpha_N y_{N-1} = \gamma_N, \end{cases} \quad (47)$$

где

$$A_j = \frac{1}{h^2}, \quad C_j = \frac{2}{h^2} + \frac{p_j}{h} - q_j, \quad B_j = \frac{1}{h^2} + \frac{p_j}{h}, \\ F_j = r_j, \quad \alpha_0 = 0, \quad \gamma_0 = \alpha, \quad \alpha_N = 1, \quad \gamma_N = \beta h.$$

При этом должны выполняться следующие достаточные условия устойчивости метода прогонки [10, с. 161–166]:

$$|C_j| \geq |A_j| + |B_j|, \quad |\alpha_0| < 1, \quad |\alpha_N| \leq 1. \quad (48)$$

Неравенства (48) справедливы, если $q(x) \leq 0$ при $x \in [0, 1]$.

Аналогичными исследованиями можно показать существование и единственность решения разностной задачи (43).

Чтобы доказать устойчивость разностных схем (42), (43), требуется показать выполнение неравенства

$$\|y^{(h)}\|_{U_h} \leq C \cdot \|f^{(h)}\|_{F_h}. \quad (49)$$

Здесь C – некоторая постоянная, не зависящая ни от h , ни от $f^{(h)}$.

С доказательством устойчивости можно познакомиться в [10, с. 207–209].

Таким образом, разностная схема (42) аппроксимирует краевую задачу (40) с первым порядком относительно h и устойчива, если [Там же, с. 205]

$$h < h_0 = \min \left\{ 1, \frac{2}{\|p\|_C} \right\}.$$

Тогда согласно основной теореме теории разностных схем [6, с. 14] получаем, что решение разностной задачи (42) будет сходиться к решению дифференциальной задачи (40) с первым порядком относительно h , т.е.

$$\|[y]_h - y^{(h)}\|_{U_h} \leq Kh,$$

где K – постоянная, не зависящая от h .

Итак, решая систему линейных алгебраических уравнений (47) экономичным методом прогонки, получаем приближенные значения y_0, y_1, \dots, y_N решения краевой задачи (40) в узлах сетки $\overline{\omega_h}$.

Замечание 2. Метод сеток применяется для решения краевой задачи (40) при $q(x) > 0$, когда условия (48) не выполняются. Однако в этом случае заранее предвидеть успешный результат трудно. Обычно проводят расчеты для разных значений шага (не менее трех) и сравнивают y_i в одних и тех же узлах сетки между собой. Если разность этих значений уменьшается при измельчении шага, то решение стремится к некоторому пределу при $h \rightarrow 0$.

Исследование устойчивости разностных схем

Каноническая форма записи разностной схемы

Введем новые обозначения:

$$u_j = y_j, R_h = (1 - hA), \rho_j = f_j. \quad (59)$$

Тогда разностное уравнение запишется в виде

$$\begin{cases} u_{j+1} = R_h u_j + h \rho_j, \\ u_0 - \text{задано}, \end{cases} \quad (60)$$

который в дальнейшем будем называть *канонической формой*. Используя (60) и полагая $j = 0, 1, 2, \dots$, получим

$$\begin{aligned} u_1 &= R_h u_0 + h \rho_0, \\ u_2 &= R_h^2 u_0 + h [R_h \rho_0 + \rho_1], \\ u_3 &= R_h^3 u_0 + h [R_h^2 \rho_0 + R_h \rho_1 + \rho_2], \\ &\dots \dots \dots \\ u_j &= R_h^j u_0 + h [R_h^{j-1} \rho_0 + R_h^{j-2} \rho_1 + \dots + \rho_{j-1}]. \end{aligned}$$

Отсюда имеем

$$\max_{0 \leq j \leq N} u_j \leq \max_{1 \leq j \leq N} R_h^j \left[u_0 + hN \max_{0 \leq j < N} \rho_j \right]. \quad (10.61)$$

Заметим, что теперь в пространствах U_h , F_h нормы определяются следующим образом:

$$y^{(h)}_{U_h} = \max_{0 \leq j \leq N} u_j, \quad f^{(h)}_{F_h} = \max \left[u_0, \max_{0 \leq j < N} \rho_j \right].$$

Из (10.61) следует (учитываем, что $hN = 1$), что

$$y^{(h)}_{U_h} \leq \max_{1 \leq j \leq N} R_h^j \cdot 2 \cdot f^{(h)}_{F_h}.$$

Доказательство устойчивости будет завершено, если будет показана равномерная относительно h ограниченность совокупности чисел R_h^j , т.е. доказана справедливость оценки

$$R_h^j \leq C, \quad j = 1, 2, \dots, N.$$

Имеем

$$|R_h^j| \leq |1 - hA|^j \leq (1 + h|A|)^N \leq e^{|A|} = C.$$

Это и доказывает устойчивость схемы.

Спектральный признак устойчивости

Для оценки ограниченности $\|R_h\|$ можно воспользоваться собственными значениями матрицы R_h . Это утверждение легко вытекает из определения ненулевого собственного вектора \bar{u} , соответствующего собственному значению λ матрицы R_h . В самом деле, по определению имеем $R_h \bar{u} = \lambda \bar{u}$. Далее очевидно, что $R_h^j \bar{u} = \lambda^j \bar{u}$, $\|R_h^j \bar{u}\| = |\lambda|^j \|\bar{u}\|$, $\|R_h^j \bar{u}\| \leq \|R_h^j\| \cdot \|\bar{u}\|$. Тогда $\|R_h^j\| \geq |\lambda|^j$.

Таким образом, для ограниченности $\|R_h^j\|$ необходимо, чтобы были ограничены степени собственных значений $|\lambda|^j$, $j = \overline{1, N}$. Для этого все собственные значения должны лежать в круге радиуса $1 + C \cdot h$, т.е.

$$|\lambda| \leq 1 + C \cdot h, \quad (62)$$

причем C не зависит от h .

Легко видеть, что в противном случае, для достаточно малого h , будем иметь

$$\|R_h^j\| \geq |\lambda|^N > (1 + Ch)^{1/h} = e^{\frac{1}{h} \ln(1+Ch)} \geq e^{C \left(1 - \frac{Ch}{2}\right)} \geq e^{C/2}. \quad (63)$$

Рассмотренный признак устойчивости не зависит ни от выбора нормы в пространстве, где действует оператор R_h , ни от способа приведения схемы к канонической форме [3, с. 138–139].

Исследование устойчивости на конкретных примерах

Проиллюстрируем применение изложенной теории к решению конкретных примеров.

Пример 2. Исследуем с помощью необходимого признака устойчивость следующей разностной схемы:

$$\begin{cases} 4 \frac{y_{j+1} - y_{j-1}}{2h} - 3 \frac{y_{j+1} - y_j}{h} + Ay_j = 0, & j = \overline{1, N-1}; \\ y_0 = a; \\ y_1 = (1 - hA)a, \end{cases} \quad (64)$$

аппроксимирующей дифференциальную задачу при $f(x) = 0$.

Запишем схему (64) в канонической форме:

$$u_j = R_h u_{j-1}, \quad j = \overline{1, N},$$

где

$$u_j = \begin{pmatrix} y_{j+1} \\ y_j \end{pmatrix}, \quad \rho_j \equiv 0, \quad R_h = \begin{pmatrix} 3 + hA & -2 \\ 1 & 0 \end{pmatrix}, \quad u_0 = \begin{pmatrix} (1 - hA)a \\ a \end{pmatrix}.$$

Определим собственные значения матрицы R_h , как корни характеристического уравнения

$$\lambda^2 - (3 + hA)\lambda + 2 = 0.$$

Тогда

$$\lambda_{1,2} = \frac{3 + hA}{2} \pm \sqrt{\left(\frac{3 + hA}{2}\right)^2 - 2}$$

и

$$\lambda_1 = \frac{3 + hA}{2} + \sqrt{\frac{1 + 6hA + h^2 A^2}{4}}, \quad \lambda_2 = \frac{3 + hA}{2} - \sqrt{\frac{1 + 6hA + h^2 A^2}{4}}.$$

$\lambda_1(h)$ при $h \rightarrow 0$ стремится к 2, т.е. при малых h имеем

$$|\lambda_1| > \frac{3}{2} > 1, \quad |\lambda_2| \rightarrow 1,$$

поэтому схема будет неустойчивой. При любом разумном выборе норм в этом примере неустойчивость сохраняется [3, с. 141].

Заметим, что расположение спектра оператора R_h внутри круга $|\lambda| < 1 + C \cdot h$ не гарантирует устойчивость. В этом случае устойчивость зависит от выбора норм

Задания

Задание 1. Методом неопределенных коэффициентов построить разностную схему для соответствующего дифференциального уравнения (использовать предложенный шаблон).

Варианты заданий

Шаблон

Вариант № 1.

$$y'' + y = \sin x$$

$$i-1 \quad i \quad i+1$$

Вариант № 2.

$$y'' - (2x^2 + 4)y = 2$$

$$i-1 \quad i+1 \quad i+2$$

Вариант № 3.

$$y'' + 2y = \sin x$$

$$i-2 \quad i-1 \quad i+1 \quad i+2$$

Вариант № 4.

$$y'' + \frac{y}{4x^2} = 1$$

$$i-1 \quad i \quad i+1$$

Вариант № 5.

$$y'' - y = \cos x$$

$$i-1 \quad i \quad i+1$$

Вариант № 6.

$$y'' + (x^2 + 0,5)y = 1$$

$$i-2 \quad i-1 \quad i$$

Вариант № 7.

$$y'' + (x^2 + 4)y = 1$$

$$i-1 \quad i \quad i+1$$

Вариант № 8.

$$y'' + y = e^x$$

$$i-2 \quad i-1 \quad i \quad i+1 \quad i+2$$

Вариант № 9.

$$y'' - y = \sin x$$

$$i-1 \quad i \quad i+2$$

Вариант № 10.

$$y'' - (x^2 + 3)y = 2$$

$$i-2 \quad i-1 \quad i+1$$

Вариант № 11.

$$y'' - (x+4)y = 2$$

$$i-2 \quad i-1 \quad i+1 \quad i+2$$

Вариант № 12.

$$y'' - (x^2 + 1)y = e^{-x}$$

$$i-1 \quad i+1 \quad i+2$$

Вариант № 13.

$$y'' - 4y + x^2 = \ln x$$

$$i-1 \quad i \quad i+1$$

Задание 2.

1. Оценить погрешность аппроксимации указанной ниже дифференциальной задачи данной разностной схемой.

2. Привести разностную схему к каноническому виду и исследовать её на устойчивость с помощью спектрального признака.

Вариант № 1.

$$Lu \equiv \begin{cases} \frac{d^2 u}{dx^2} - (1+x^2)u, & 0 \leq x \leq 1; \\ u(0); \\ \frac{du(0)}{dx}, \end{cases} \quad f \equiv \begin{cases} \sqrt{x}, & 0 \leq x \leq 1; \\ 2; \\ 1, \end{cases}$$

$$L_h u^{(h)} \equiv \begin{cases} \frac{u_{i+1} - 2u_i + u_{i-1}}{h^2} - (1+x_i^2)u_i, & i = \overline{1, N-1}; \\ u_0; \\ \frac{u_1 - u_0}{h}, \end{cases} \quad f^{(h)} \equiv \begin{cases} \sqrt{ih}, & i = \overline{1, N-1}; \\ 2; \\ 1. \end{cases}$$

Вариант № 2.

$$Lu \equiv \begin{cases} u'' - (1+x^2)u, & 0 \leq x \leq 1; \\ u(0); \\ u(1), \end{cases} \quad f \equiv \begin{cases} \sqrt{x+1}, & 0 \leq x \leq 1; \\ 2; \\ 1, \end{cases}$$

$$L_h u^{(h)} \equiv \begin{cases} \frac{u_{i+1} - 2u_i + u_{i-1}}{h^2} - (1+x_i^2)u_i, & i = \overline{1, N-1}; \\ u_0; \\ u_N, \end{cases} \quad f^{(h)} \equiv \begin{cases} \sqrt{x_i+1}, & i = \overline{1, N-1}; \\ 2; \\ 1. \end{cases}$$

Вариант № 3.

$$Lu \equiv \begin{cases} v' + xw, & 0 \leq x \leq 1; \\ w' + \frac{v+w}{1+x^2}; \\ v(0); \\ w(0), \end{cases} \quad f \equiv \begin{cases} x^2 - 3x + 1, & 0 \leq x \leq 1; \\ \cos^2 x; \\ 1; \\ -3, \end{cases}$$

$$L_h u^{(h)} \equiv \begin{cases} \frac{v_{i+1} - v_i}{h} + x_i w_i, & i = \overline{0, N-1}; \\ \frac{w_{i+1} - w_i}{h} + \frac{v_i + w_i}{1+x_i^2}; \\ v_0; \\ w_0, \end{cases} \quad f^{(h)} \equiv \begin{cases} x_i^2 - 3x_i + 1, & i = \overline{0, N-1}; \\ \cos^2 x_i; \\ 1; \\ -3. \end{cases}$$

Вариант № 4.

$$Lu \equiv \begin{cases} v' + xv, & 0 \leq x \leq 1; \\ w' + (1+x^2)(v+w); \\ v(0); \\ w(0), \end{cases} \quad f \equiv \begin{cases} \sin x, & 0 \leq x \leq 1; \\ \operatorname{tg} x; \\ 2; \\ -1, \end{cases}$$

$$L_h u^{(h)} \equiv \begin{cases} \frac{v_i - v_{i-1}}{h} + x_i v_i, & i = \overline{1, N}; \\ \frac{w_i - w_{i-1}}{h} + (1 + x_i^2)(v_i + w_i); \\ v_0; \\ w_0, \end{cases} \quad f^{(h)} \equiv \begin{cases} \sin x_i, & i = \overline{1, N}; \\ \operatorname{tg} x_i; \\ 2; \\ -1. \end{cases}$$

Вариант № 5.

$$Lu \equiv \begin{cases} u' + Au, & A = \text{const}, \quad 0 \leq x \leq 1; \\ u(0), \end{cases} \quad f \equiv \begin{cases} \sin x, & 0 \leq x \leq 1; \\ 4, \end{cases}$$

$$L_h u^{(h)} \equiv \begin{cases} 3 \frac{u_{i+1} - u_{i-1}}{2h} - \frac{u_{i+1} - u_i}{h} + Au_i, & i = \overline{1, N-1}; \\ u_0, \end{cases} \quad f^{(h)} \equiv \begin{cases} \sin x_i, & i = \overline{1, N-1}; \\ 4. \end{cases}$$

Вариант № 6.

$$Lu \equiv \begin{cases} u' + Au, & A = \text{const}, \quad 0 \leq x \leq 1; \\ u(0), \end{cases} \quad f \equiv \begin{cases} \cos x, & 0 \leq x \leq 1; \\ 2, \end{cases}$$

$$L_h u^{(h)} \equiv \begin{cases} \frac{u_{i+1} - u_{i-1}}{4h} + \frac{u_{i+1} - u_i}{2h} + Au_i, & i = \overline{1, N-1}; \\ u_0, \end{cases} \quad f^{(h)} \equiv \begin{cases} \cos x_i, & i = \overline{1, N-1}; \\ 2. \end{cases}$$

Вариант № 7.

$$Lu \equiv \begin{cases} u' + Au, & A = \text{const}, \quad 0 \leq x \leq 1; \\ u(0), \end{cases} \quad f \equiv \begin{cases} \operatorname{tg} x, & 0 \leq x \leq 1; \\ 1, \end{cases}$$

$$L_h u^{(h)} \equiv \begin{cases} \frac{u_{i+1} - u_{i-1}}{4h} + \frac{u_{i+1} - u_i}{2h} + Au_i, & i = \overline{1, N-1}; \\ u_0, \end{cases} \quad f^{(h)} \equiv \begin{cases} \operatorname{tg} x_i, & i = \overline{1, N-1}; \\ 1. \end{cases}$$

Вариант № 8.

$$Lu \equiv \begin{cases} u' + Au, \quad A = \text{const}, \quad 0 \leq x \leq 1; \\ u(0), \end{cases} \quad f \equiv \begin{cases} \cos x, \quad 0 \leq x \leq 1; \\ 1, \end{cases}$$
$$L_h u^{(h)} \equiv \begin{cases} 4 \frac{u_{i+1} - u_{i-1}}{2h} - 3 \frac{u_{i+1} - u_i}{h} + Au_i, \quad i = \overline{1, N-1}; \\ u_0, \end{cases} \quad f^{(h)} \equiv \begin{cases} \cos x_i, \quad i = \overline{1, N-1}; \\ 1. \end{cases}$$

Вариант № 9.

$$Lu \equiv \begin{cases} u' + Au, \quad A = \text{const}, \quad 0 \leq x \leq 1; \\ u(0), \end{cases} \quad f \equiv \begin{cases} \sin x, \quad 0 \leq x \leq 1; \\ 1, \end{cases}$$
$$L_h u^{(h)} \equiv \begin{cases} \frac{u_{i+1} - u_{i-1}}{h} + A \frac{u_i + u_{i+1}}{2}, \quad i = \overline{0, N-1}; \\ u_0, \end{cases} \quad f^{(h)} \equiv \begin{cases} \sin x_i, \quad i = \overline{0, N-1}; \\ 1. \end{cases}$$

Вариант № 10.

$$Lu \equiv \begin{cases} u' - 5u, \quad 0 \leq x \leq 1; \\ u(0), \end{cases} \quad f \equiv \begin{cases} \operatorname{tg} x, \quad 0 \leq x \leq 1; \\ 1, \end{cases}$$
$$L_h u^{(h)} \equiv \begin{cases} \frac{u_{i+1} - u_{i-1}}{2h} - 5u_i, \quad i = \overline{1, N-1}; \\ u_0, \end{cases} \quad f^{(h)} \equiv \begin{cases} \operatorname{tg} x_i, \quad i = \overline{1, N-1}; \\ 1. \end{cases}$$

Вариант № 11

$$Lu \equiv \begin{cases} u' + xu, \quad 0 \leq x \leq 1, \\ u(0), \end{cases} \quad f \equiv \begin{cases} \cos x, \quad 0 \leq x \leq 1; \\ 3, \end{cases}$$
$$L_h u^{(h)} \equiv \begin{cases} \frac{u_{i+1} - u_{i-1}}{2h} + x_i u_i, \quad i = \overline{1, N-1}; \\ u_0, \end{cases} \quad f^{(h)} \equiv \begin{cases} \cos ih, \quad i = \overline{1, N-1}; \\ 3. \end{cases}$$

Литература

1. Самарский А.А. Введение в теорию разностных схем. М. : Наука, 1971. 552 с.
2. Ортега Дж., Пул У. Введение в численные методы решения дифференциальных уравнений. М. : Наука, 1986. 288 с.
3. Годунов С.К., Рябенький В.С. Разностные схемы. М. : Наука, 1977. 439 с.
4. Дьяченко В.Ф. Основные понятия вычислительной математики. М. : Наука, 1977. 126 с.
5. Рихтмайер Р.Д., Мортон К.В. Разностные методы решения краевых задач. М. : Мир, 1972. 418 с.
6. Элементы теории разностных схем : метод. указания. Томск : Изд-во ТГУ, 1992. Ч. 1. 17 с.
7. Роуч П. Вычислительная гидродинамика. М. : Мир, 1980. 616 с.
8. Крылов В.И., Бобков В.В., Монастырский П.И. Вычислительные методы. М. : Наука, 1977. Т. 2. 399 с.
9. Самарский А.А., Гулин А.В. Численные методы. М. : Наука, 1989. 430 с.
10. Волков Е.А. Численные методы. М. : Наука, 1987. 248 с.
11. Точные методы решения систем линейных алгебраических уравнений : метод. указания. Томск : Изд-во ТГУ, 1990. 34 с.